

傾斜密度流の流動について

九州大学工学部 正会員 平野 宗夫
 山口大学工学部 正会員 羽田野 義徳
 九州大学大学院 学生員 松尾 俊洋

1 まえがき

傾斜密度流は浮力流体の供給が連続的であるか、不連続であるかにより *plume* と *thermal* に分類されてい
 る。本稿では、漸拡部を流下する傾斜密度流の流動、特にふくらみ係数と進行係数についての実験結果について
 述べ、これらの値の関係から *plume* と *thermal* の相違を明らかにする。

2 理論

漸拡水路における下層密度流の2層流モデルによる取扱いが平野ら¹⁾
 により示されており、その概要は以下のようなものである。図-1に示すよう
 なモデルを考え、下層流体に関する体積保存則、質量保存則およびx方
 向の運動方程式を特性曲線 $d\delta/dt = \bar{u}$ 上で表示すると、

$$\frac{d\delta}{dx} = E - \frac{\delta}{\bar{u}} \frac{\partial \bar{u}}{\partial x} - \frac{\delta}{b} \frac{db}{dx} = m - \frac{\delta}{b} \frac{db}{dx} \dots (1) \quad \frac{d\rho}{dx} = -\frac{\rho E}{\delta} \dots (2)$$

$$\frac{d\bar{u}}{dx} = 2 \frac{\rho_0}{\rho} g \sin \theta - \frac{2}{\rho \delta} g \cos \theta \frac{\partial (\pm \rho \delta^2)}{\partial x} - 2 \frac{\bar{u}^2}{\delta} \left\{ E(1-k) + f_1 + 2 \frac{\delta}{b} f_2 \right\}$$

$$+ 2 \frac{\bar{u}^2}{b} \frac{db}{dx} (1-k) + 2(\beta-1) \left\{ \frac{\bar{u}}{\delta} \frac{\partial (\bar{u}\delta)}{\partial x} - \bar{u} \frac{\partial \bar{u}}{\partial x} \right\} - 2 \bar{u}^2 \frac{\partial \beta}{\partial x} \dots (3)$$

ここに、Eは進行係数、 $m = E - \frac{\delta}{\bar{u}} \frac{\partial \bar{u}}{\partial x}$ 、 \bar{u} は断面平均流速である。
 水路幅と底面勾配が一定の場合、先端部の形状が相似であり、かつ最大
 厚さが流下距離に対してほぼ直線的に増大することから、最大厚さの断
 面を対象とし、 m およびEを一定とすると、式(1)および(2)より

$$\frac{\delta}{\delta_0} = \left\{ \frac{1}{2} m (X-X_0)^2 + mB(X-X_0) + B \right\} / \left\{ i(X-X_0) + B \right\} \dots (4)$$

$$\frac{\rho}{\rho_0} = \left(\frac{b}{b_0} \right)^{-E/m} \dots (5)$$

ここに、 $B = b/\delta_0$ 、 $X = x/\delta_0$ 、 $i = db/dx$ であり、添字0は初期値。

3. 実験結果と考察

(1) ふくらみ係数 m

m は進行と速度差による流動
 厚さの増加割合であり、式(1)
 より得られる式

$$m = \frac{d\delta}{dx} + \frac{\delta}{b} \frac{db}{dx} \dots (6)$$

に δ の実験値を適用して得られ
 る。その結果が図-2と3に示

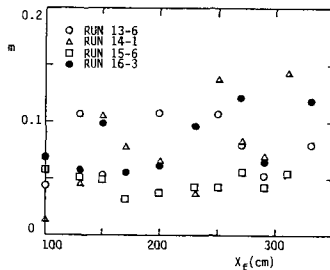


図-2 $m \sim X_0$ の関係

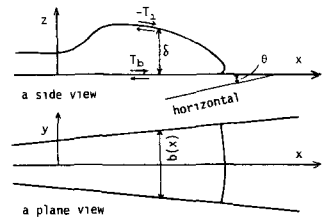


図-1 モデル

Thermal salinity 10000ppm	V(T)	db/dx	s'nb	b_0(cm)
5-1,2,3,7 4,5,6,8,9,10	2 5	0	0.052	7.1
6-1,2,3,7,10,11 4,5,6,8,9	2 5	0	0.102	7.1
7-1,2,3,7 4,5,6,8,9,10	2 5	0	0.155	7.1
8-1,6 2,3,4,5	2 5	0	0.203	7.1
11-1,2,3,11 4,5,6,7,8,9,10	2 4	0.019	0.045	8.2
12-1,2,5 3,4,6,7,8	2 4	0.019	0.098	8.2
13-1,2,5,6,9 3,4,7,8	2 3	0.019	0.152	8.2
14-1,2,5,6,7 3,4,8,9	2 3	0.019	0.203	8.2
15-1,2,5,9 3,4,6,7,8	2 3	0.042	0.045	7.1
16-1,2,5,9,10 3,4,6,7,8	2 3	0.042	0.098	7.1
17-1,2,5,6,7,10 3,4,8,9	2 3	0.042	0.152	7.1
18-1,2,5,6,7,10 3,4,8,9	2 3	0.042	0.203	7.1

表-1 実験条件

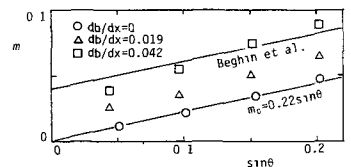


図-3 $m \sim \sin \theta$ の関係

されている。図-2より、多少バラツキはあるものの、 m は流水方向にほぼ一定とみなされる。また、その値は底面勾配と振幅率が大きい程大きい値を示している。なお、本実験における m の値は、一定幅水路における Beghin²⁾の値より小さくなっている。

(2) 連行係数

$E = \text{const}$ として式(2)を変形すると、

$$E = \frac{-\ln(\rho/\rho_0)}{\int_{x_0}^x dx/\delta} \quad \dots \quad (7)$$

図-4は流動厚さと密度の測定値より上式の分母分子を求めて示したものである。多少バラツキはあるが、 E は流水方向にほぼ一定である。また、図-5は同一勾配・振幅率の plume と thermal の実験で得られた E の値の比を示したものである。thermal の連行係数は plume のものの2倍程度となっている。

(3) 連行係数とふくらみ係数の比

式(5)を変形すると、

$$\frac{E}{m} = \frac{-\ln(\rho/\rho_0)}{\ln(b\delta/b_0\delta_0)} \quad \dots \quad (8)$$

上式に実験値を適用した結果が図-6および図-7に示されている。図より plume では $E/m < 1$ 、thermal では $E/m > 1$ となっている。このことは plume と thermal の本質的な違いを示している。すなわち、plume では後続流が head に比べて速いから head は連行と後続流の流入によりふくらむため $E/m < 1$ 、一方 thermal では逆に後続流があまり残されるような形となりため、 $E/m > 1$ となるのである。また、図-8は各実験条件での平均の m と E の値から $\delta/\delta_0 \cdot \partial\delta/\partial x$ を求めて示したものである。その値は plume の場合に負、thermal の場合に正となり、上述の plume と thermal の流水の特性を示している。

参考文献

1) 平野宗夫・羽田野繁義；漸次水路における密度流先端部の挙動，土木学会論文報告集 332号，1983
 2) Beghin, P., Hopfinger, E.J and Britton, R.E. ; Gravitational convection from instantaneous source on inclined boundaries, J. Fluid Mech. vol. 107, 1981.

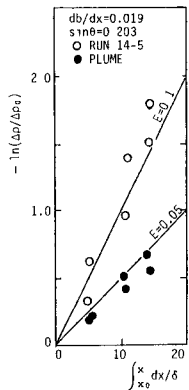


図-4 $-\ln(\rho/\rho_0) \sim \int_{x_0}^x dx/\delta$ の関係

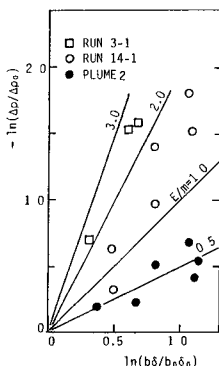


図-6 $-\ln(\rho/\rho_0) \sim \ln(b\delta/b_0\delta_0)$ の関係

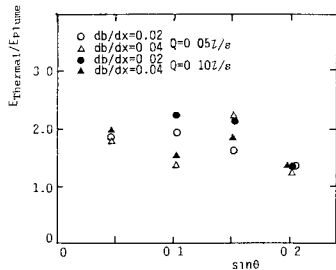


図-5 連行係数の比

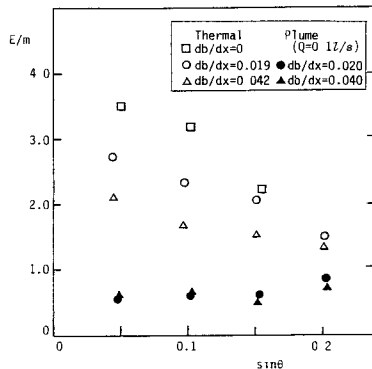


図-7 $E/m \sim \sin \theta$ の関係

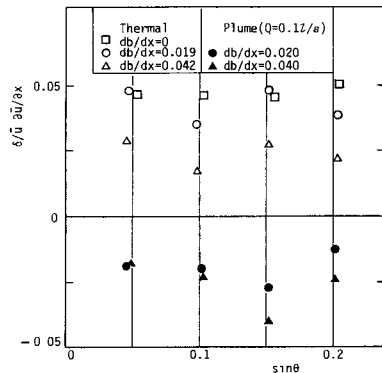


図-8 $\delta/\delta_0 \cdot \partial\delta/\partial x \sim \sin \theta$ の関係